

# Etapas amplificadoras básicas con BJT

Electrónica I

FCEIA - UNR

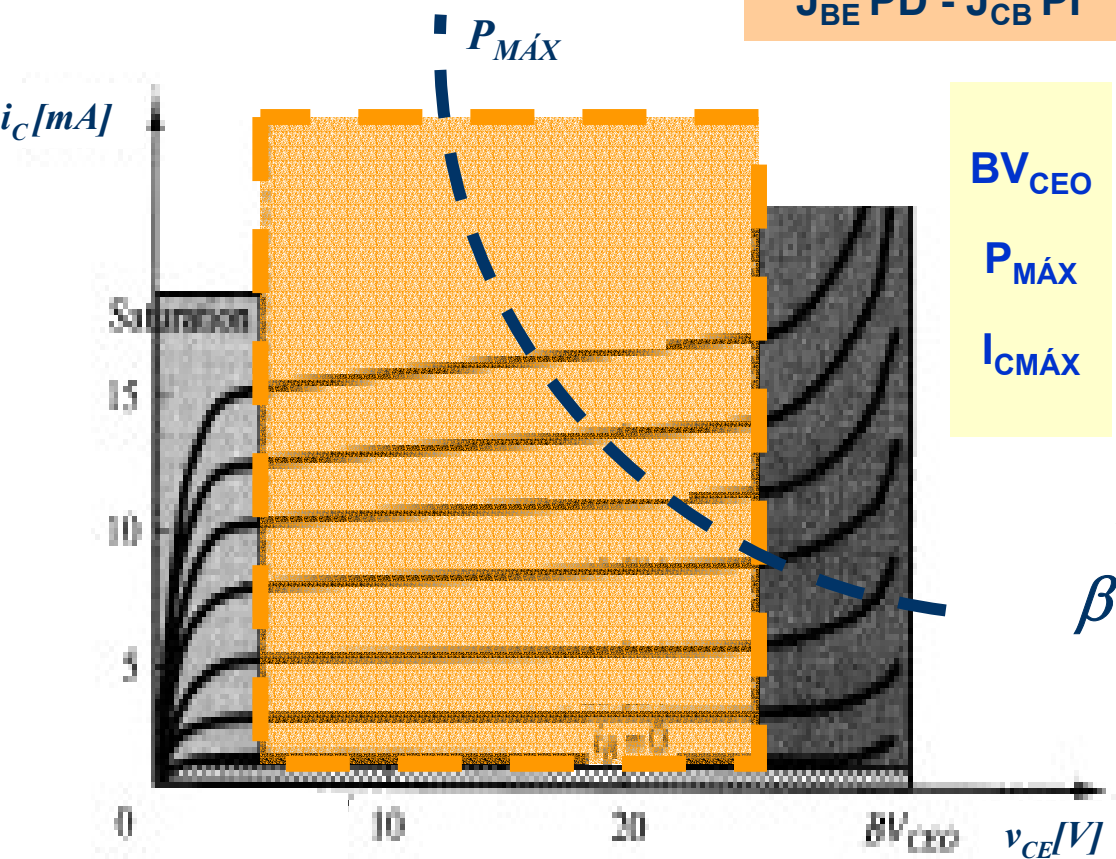
Prof. María Isabel Schiavon

# Punto de Trabajo

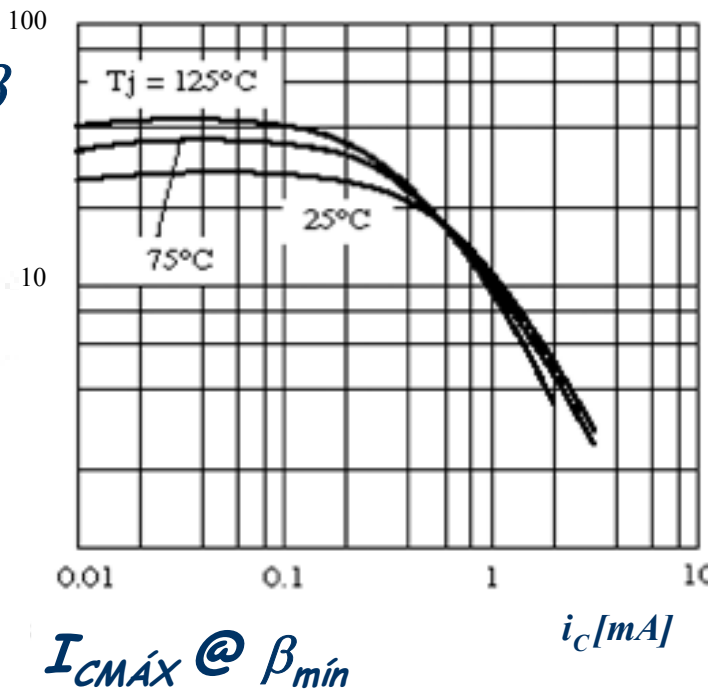
Zona Activa  
 $J_{BE} PD - J_{CB} PI$

Estable e independiente  
 de la dispersión  
 de los parámetros

Mínima disipación de  
 potencia



- $BV_{CEO}$
- $P_{MÁX}$
- $I_{CMÁX}$



Compatible con la excursión de  
 señal de salida requerida

BJT polarizado

Punto de Trabajo

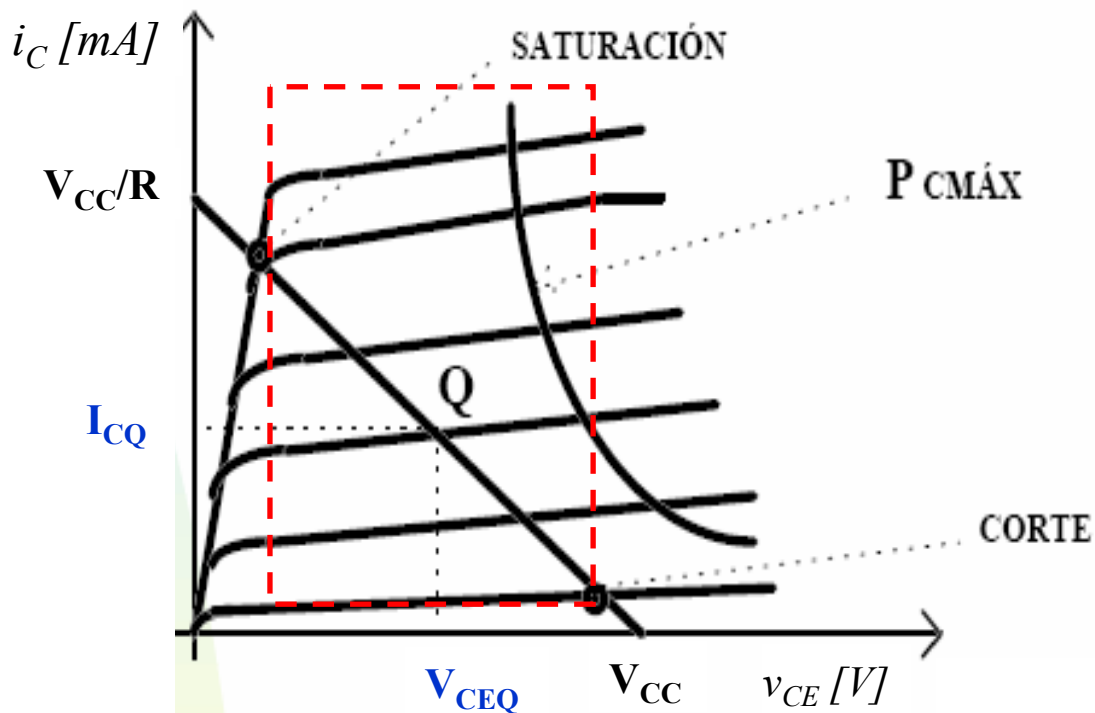
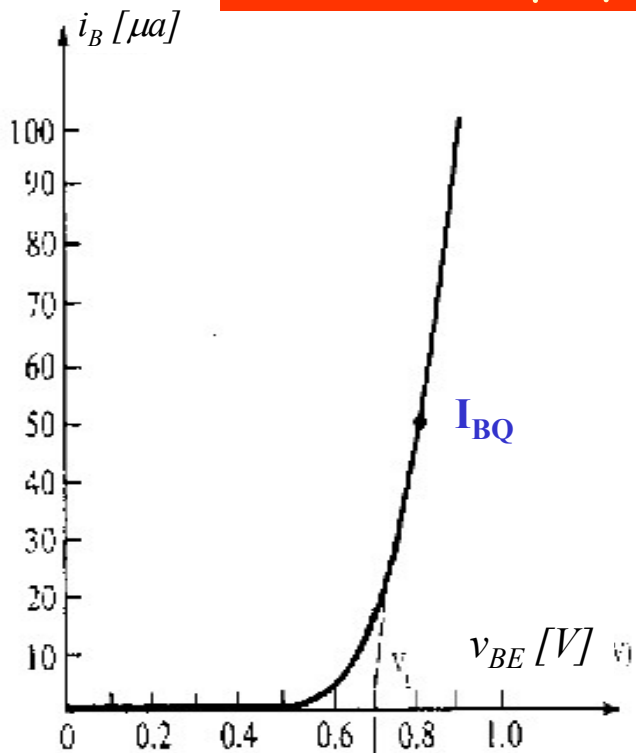
$I_{CQ}$   $V_{CEQ}$

modelo lineal  
para el BJT

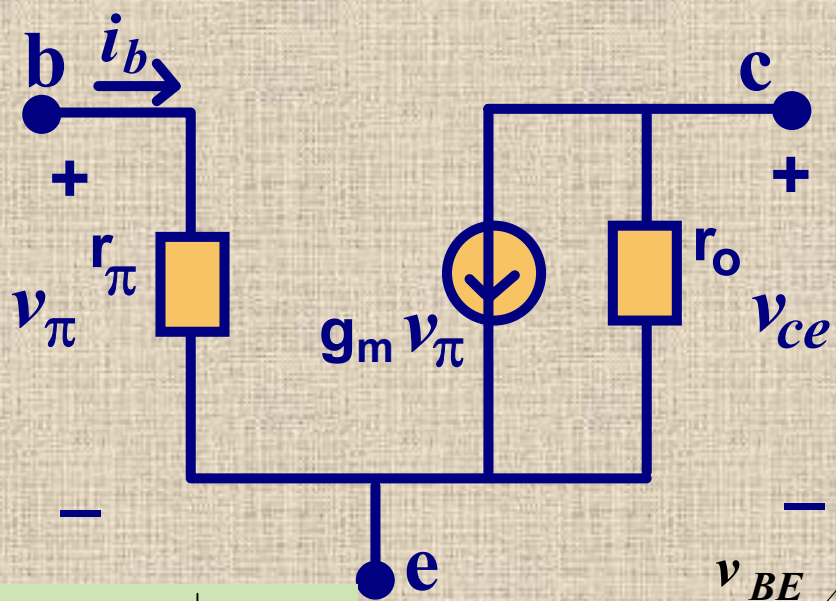
Superposición  
condicionada alrededor  
del punto de trabajo

BJT funciona  
linealmente

modelo en pequeña señal



# Modelo BJT en pequeña señal



$$r_{\pi} = \left( \frac{\partial i_b}{\partial v_{be}} \right)^{-1} = \frac{v_{\pi}}{i_b}$$

$$g_m = \frac{\partial i_c}{\partial v_{be}} = \frac{\beta i_b}{v_{be}} = \frac{\beta}{r_{\pi}}$$

$$r_o = \frac{v_{ce}}{i_c} \Big|_{V_{CEQ}}$$

$$r_o = \frac{I_{CQ}}{-V_A}$$

$$i_C \approx I_s e^{\frac{v_{BE}}{V_T}} = I_s e^{\frac{V_{BEQ} + v_{be}}{V_T}} = I_{CQ} e^{\frac{v_{be}}{V_T}}$$

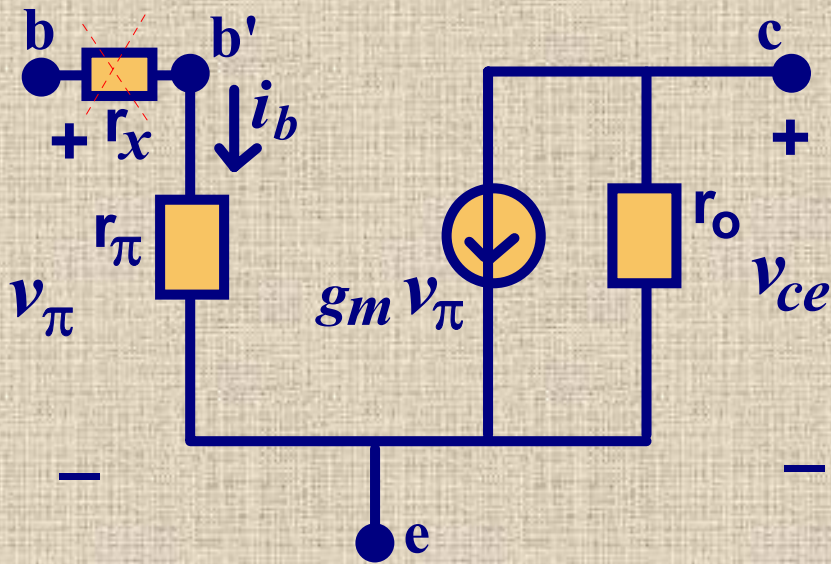
$$i_C \approx I_{CQ} + \frac{I_{CQ}}{V_T} v_{be} + \frac{1}{2!} \frac{I_{CQ}}{V_T} v_{be}^2 + \dots$$

$$i_c \approx \frac{I_{CQ}}{V_T} v_{be} = g_m v_{be} \Leftrightarrow g_m = \frac{I_{CQ}}{V_T}$$

Tensión Early



# BJT en pequeña señal



Si  $I_{CQ} = 1\text{mA}$   $\beta \approx 200$   
 $z_i \approx 5\text{K}\Omega$   $g_m = 0,04\text{A/V}$

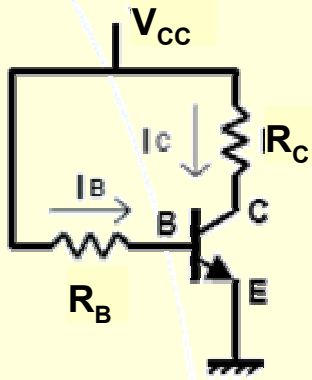
$$z_{i_{BJT}} = r_\pi = \frac{\beta V_T}{I_{CQ}}$$

$$z_o = r_o = \left( \frac{I_{CQ}}{-V_A} \right)^{-1}$$

Si  $I_{CQ} = 1\text{mA}$   $V_A \approx -200\text{V}$   
 $z_o \approx 200\text{K}\Omega$

$$g_m r_\pi = \beta$$

$$g_m = \frac{I_{CQ}}{V_T}$$



*recta polarización*

$$I_{BQ} = (V_{CC} - V_{BEQ}) / R_B$$

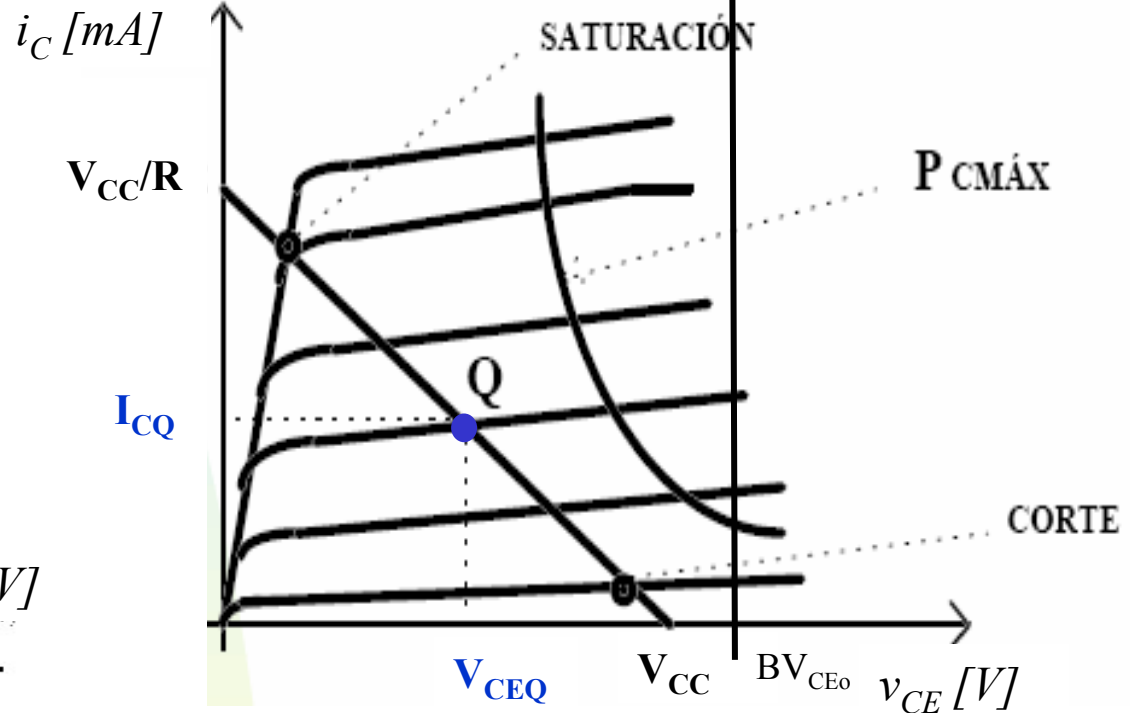
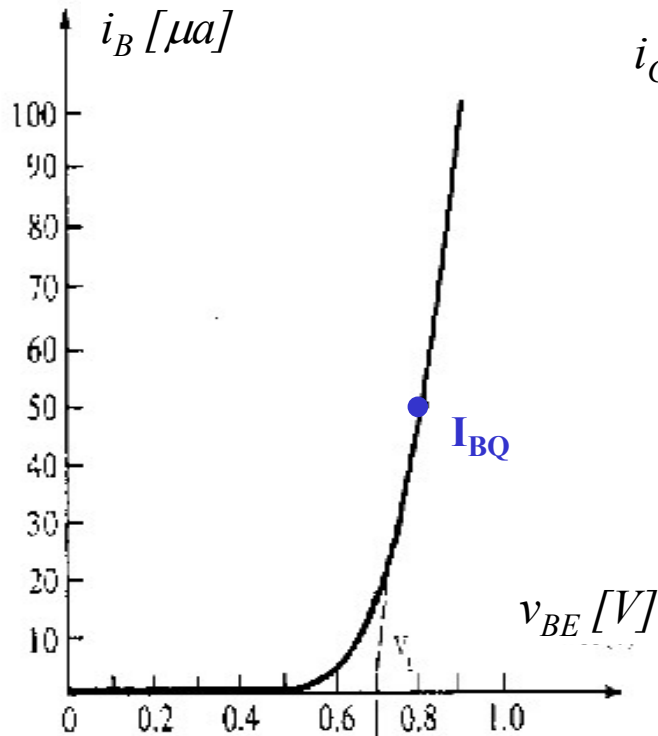
*recta de carga*

$$I_{CQ} = (V_{CC} - V_{CEQ}) / R_C$$

$I_{BQ}$

$I_{CQ}$

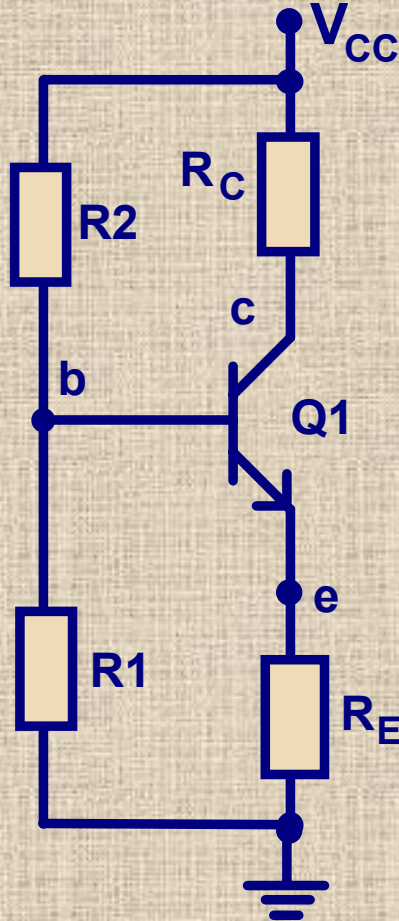
$V_{CEQ}$



Característica de entrada

Característica de salida

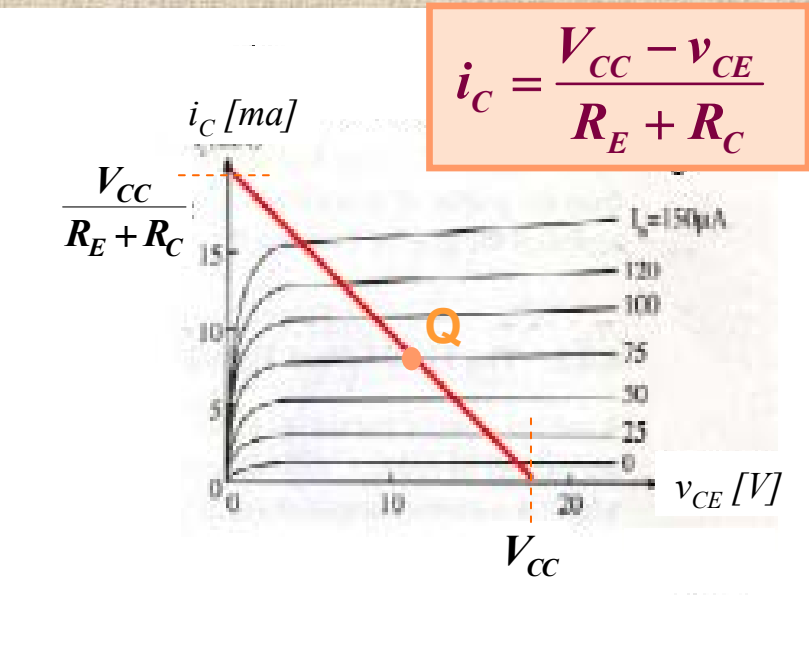
El circuito fija la corriente de emisor



$$I_B = \frac{I_{C_Q}}{\beta}$$

Zona activa

$$I_{E_Q} = \frac{V_{BB} - V_{BE_Q}}{R_E} \approx I_{C_Q}$$



$$i_C = \frac{V_{CC} - v_{CE}}{R_E + R_C}$$

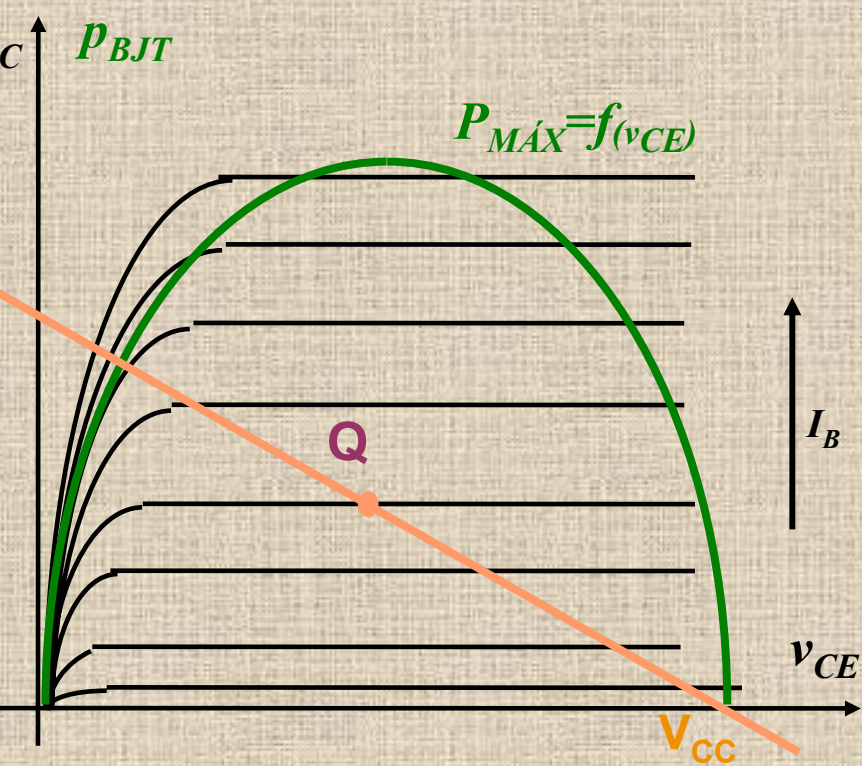
$$V_{BB} = V_{CC} \frac{R_1}{R_1 + R_2}$$

$$I_B \ll \frac{V_{CC}}{R_1 + R_2}$$

# **Criterios de Diseño**

**Selección del punto de trabajo  
y elementos del circuito**





$$p_{BJT} \approx i_C v_{CE} \approx \frac{V_{CC} - v_{CE}}{R_E + R_C} v_{CE}$$

*Si  $v_{CE} = V_{cc}/2 \Rightarrow P_{MÁX}$*

*Si  $v_{CE} < V_{cc}/2$   
cuando  $I_C$  aumenta  
 $P_{BJT}$  disminuye*

*Si  $v_{CE} > V_{cc}/2$   
cuando  $I_C$  aumenta  
 $P_{BJT}$  aumenta*

**Clase A**

$$V_{CEQ} \approx V_{CC}/2$$

*Evita embalamiento térmico,  
estabiliza punto de trabajo*

**Disipación de  
Potencia**

BJT en zona activa

rectitud de carga

$$i_C = \frac{V_{CC} - v_{CE}}{R_E + R_C}$$

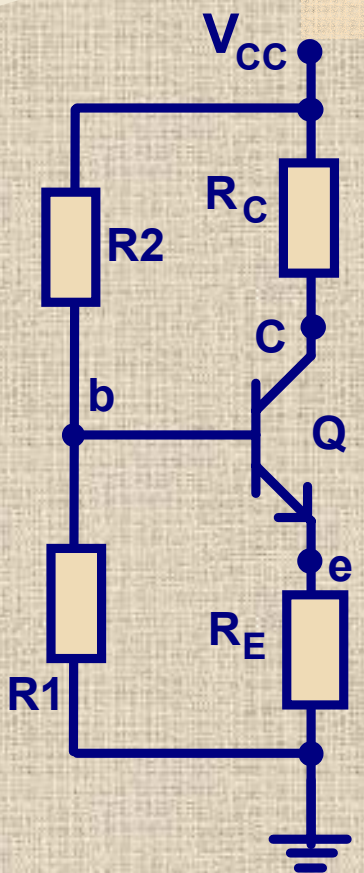
$$i_C = \beta i_B + (\beta + 1) I_{CO}$$

$$i_B + i_C = i_E$$

thevenin

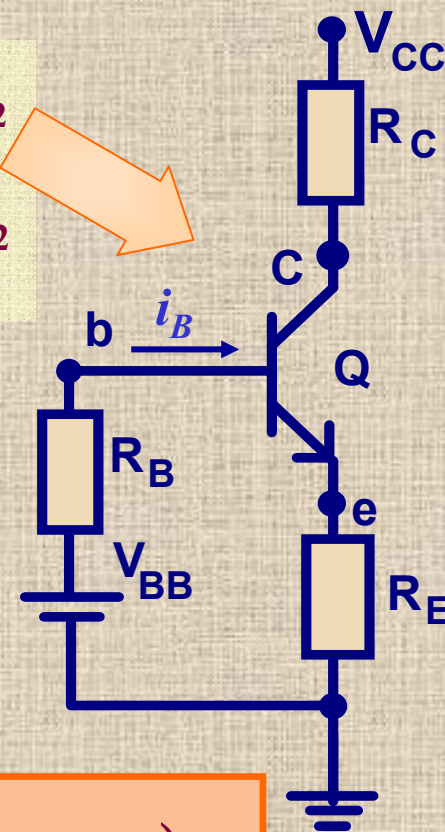
$$R_B = R_1 // R_2$$

$$V_{BB} = \frac{V_{CC}}{R_1 + R_2} R_2$$



$$i_B R_B + i_E R_E = V_{BB} - V_{BE}$$

$$i_C = \frac{\beta(V_{BB} - V_{BE}) + (\beta + 1) I_{CO} R_B}{(\beta + 1) R_E + R_B}$$



si  $\beta \gg 1$

$R_B \ll \beta R_E$

$$i_C \approx \frac{(V_{BB} - V_{BE})}{R_E}$$

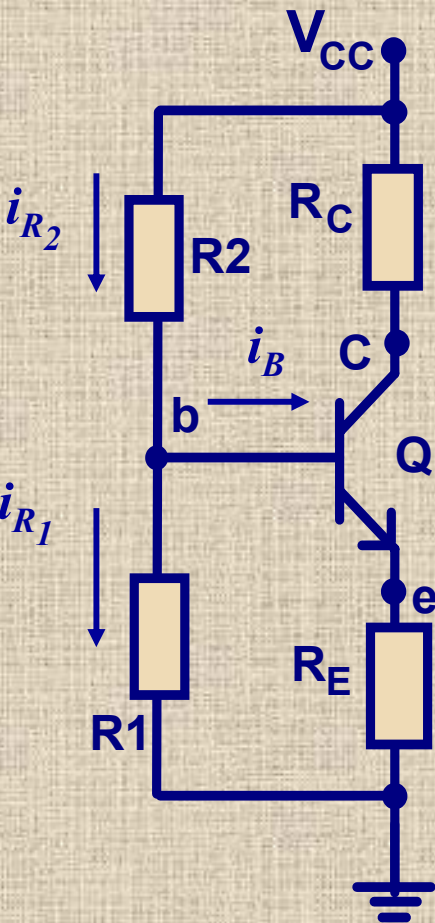
Independiente características BJT

**Crterios a tener en cuenta para la polarizaci3n**

**Elecci3n BJT**  
**Adopci3n  $V_{CC}$**

**Adopci3n punto de trabajo  $I_{CQ}$**

$$V_{CEQ} \approx V_{CC}/2$$



$$i_{R_2} = i_B + i_{R_1} \approx i_{R_1}$$

**Elegida  $I_{CQ}$  considerando  $\beta_{m\acute{a}x}$**

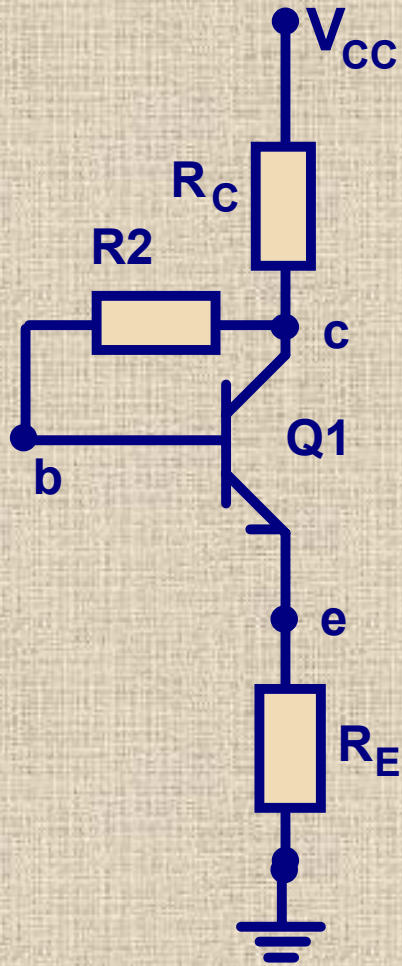
$$I_{BQ\acute{M}AX} = I_{CQ} / \beta_{m\acute{a}x}$$

$$\text{si } I_{BQ\acute{M}AX} \ll \frac{V_{CC}}{R_1 + R_2} \approx i_{R_{1,2}} \Rightarrow V_{BB} = \frac{V_{CC} R_2}{R_1 + R_2}$$

$$R_B = R_1 // R_2$$

$$R_B \ll \beta R_E$$

Otro posible  
circuito



$$i_C = \frac{V_{CC} - v_{CE}}{R_E + R_C}$$

$$i_C = \beta i_B + (\beta + 1) I_{CO}$$

$$i_C = \frac{\beta}{\beta + 1} i_E$$

$$i_C = \frac{\beta (V_{CC} - V_{BE}) + I_{CO} (\beta + 1) R_2}{R_2 + \beta (R_C + R_E)}$$

Para independencia  
del  $\beta$

$$R_2 \ll \beta (R_C + R_E)$$

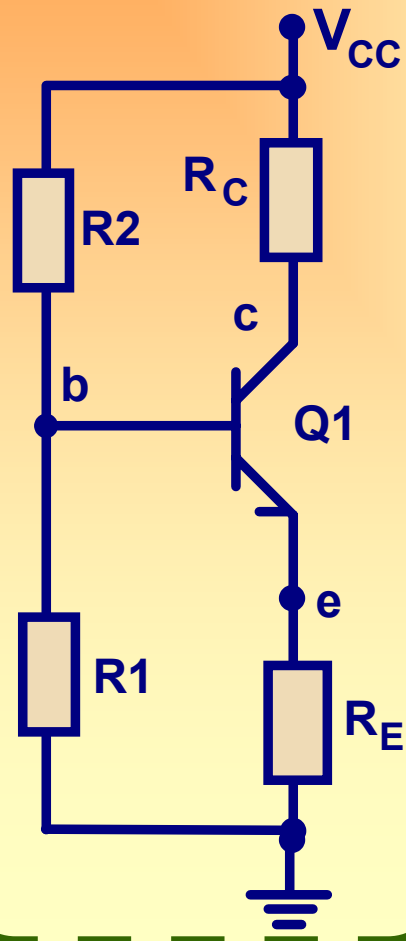
Difícil cumplimiento

$$R_2 \approx \beta (R_C + R_E)$$

# BJT Polarizado

## Etapas amplificadoras básicas

terminal de excitación  
terminal de salida

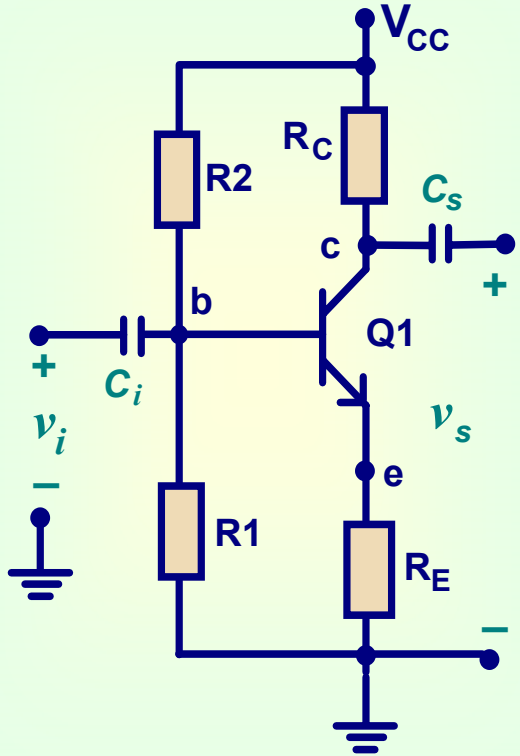


**Terminal  
común**

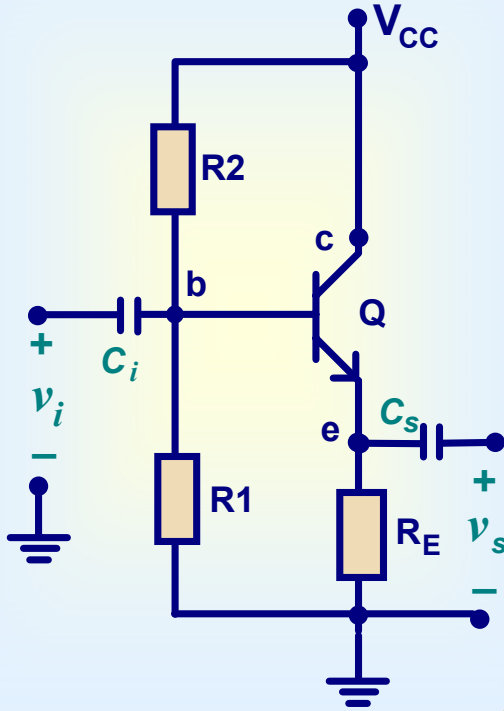
**emisor común  
base común  
colector común**

# Etapas básicas amplificadoras

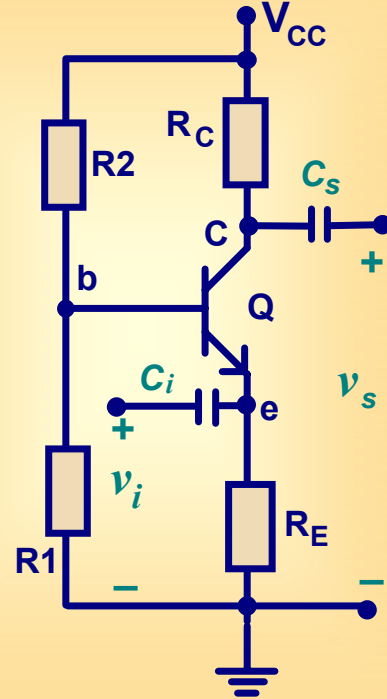
## emisor común



## colector común



## base común

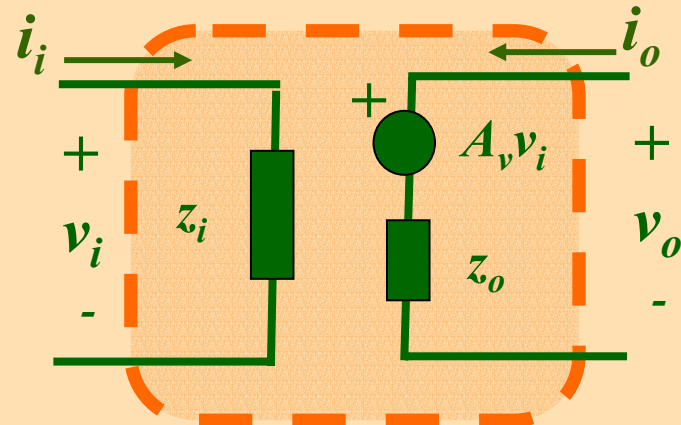


$$A_v = \frac{v_o}{v_i}$$

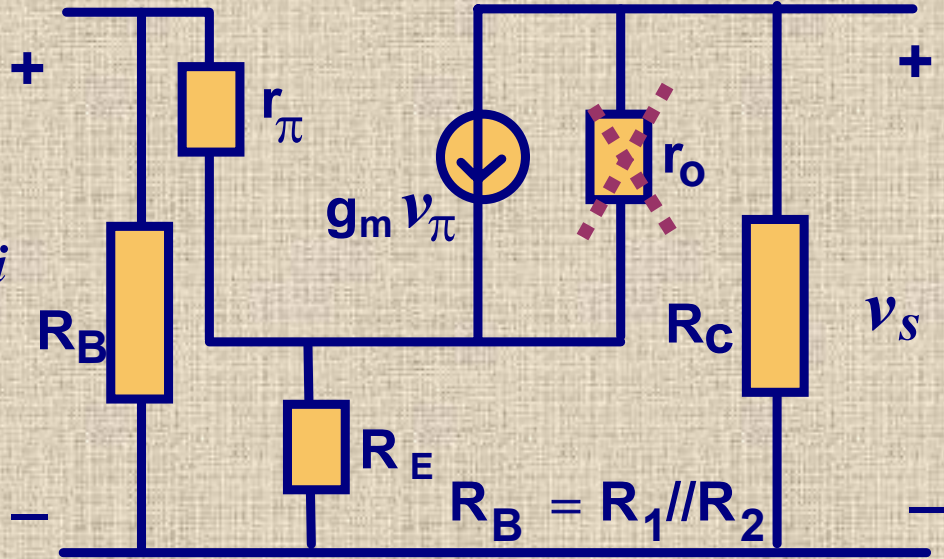
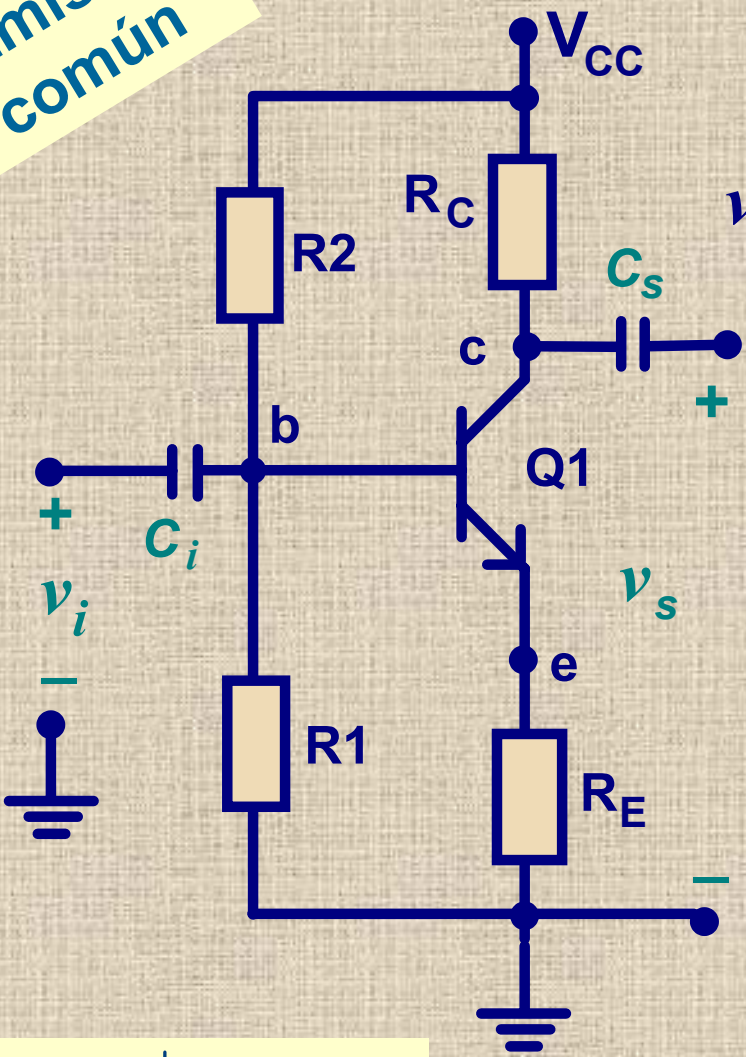
$$A_i = \frac{i_o}{i_i}$$

$$z_i = \frac{v_i}{i_i}$$

$$z_o = \frac{v_o}{i_o} \Big|_{v_i=0}$$



Emisor común



$$i_c = \frac{v_{ce}}{r_o} + g_m v_\pi$$

$$v_o = -i_c R_C$$

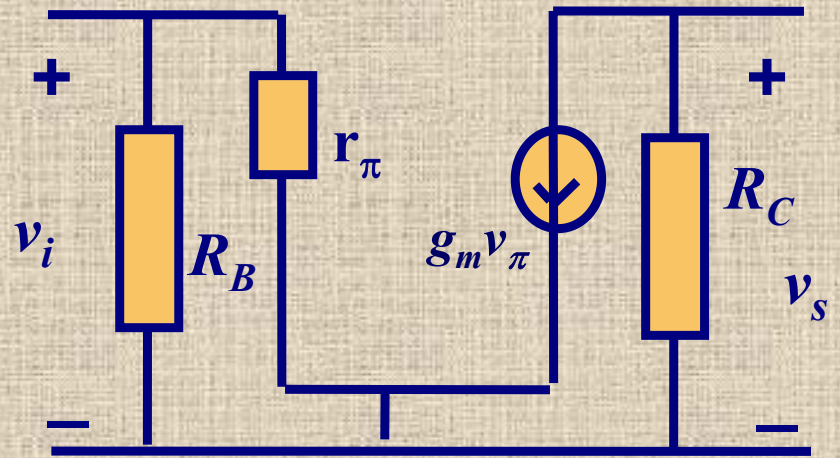
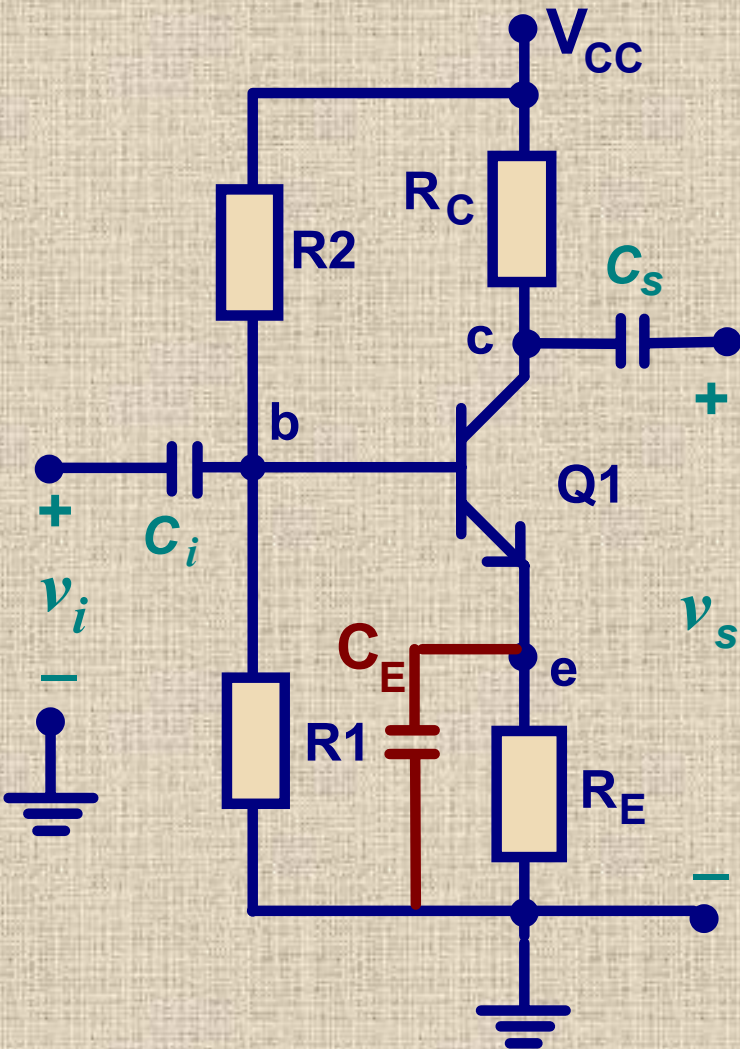
$$v_\pi = v_i - i_c R_E$$

$$z_o = \left. \frac{v_s}{i_s} \right|_{v_i=0} \approx R_C$$

$$A_v \approx -\frac{g_m R_C}{1 + g_m R_E} \approx -\frac{R_C}{R_E}$$

$$z_i \approx R_B \parallel r_\pi (1 + g_m R_E) \approx R_B$$

# Emisor común con capacitor de emisor



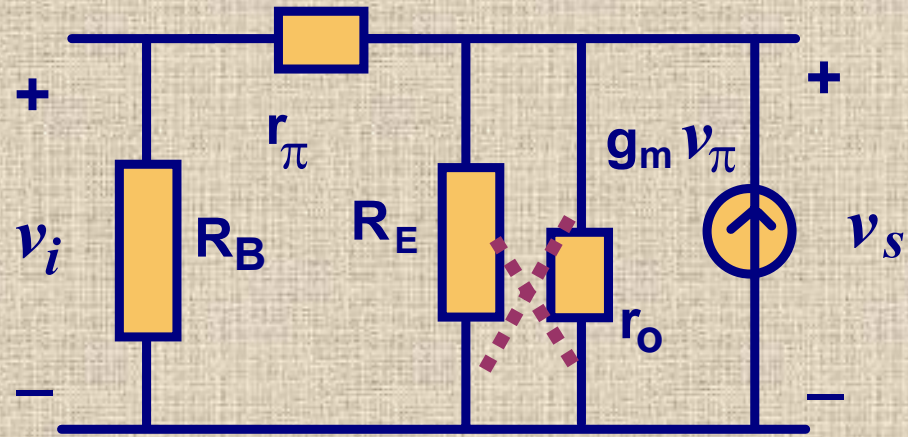
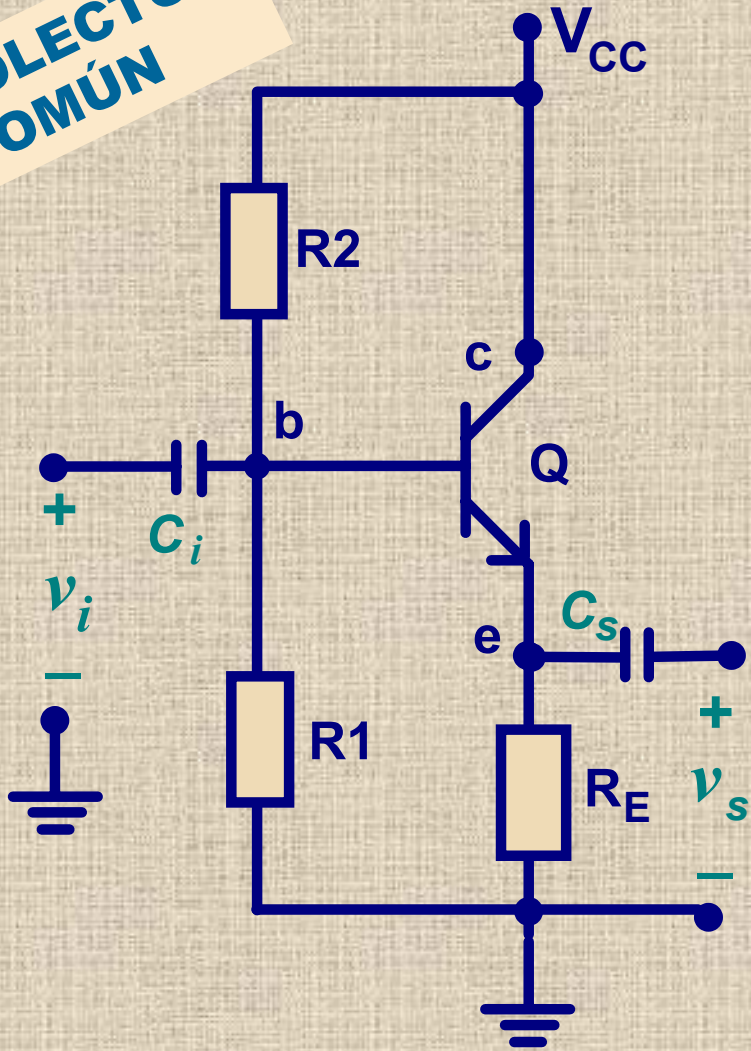
$$A_v \approx -g_m R_c$$

$$z_i \approx R_B // r_\pi \approx r_\pi$$

$$z_o \approx R_C$$



**COLECTOR COMÚN**



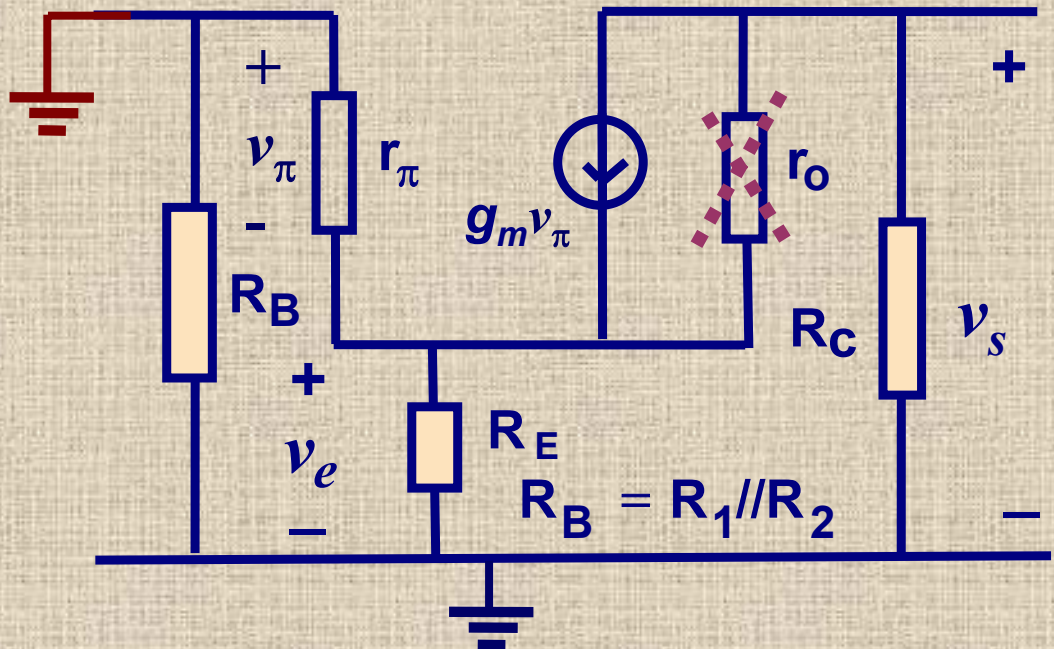
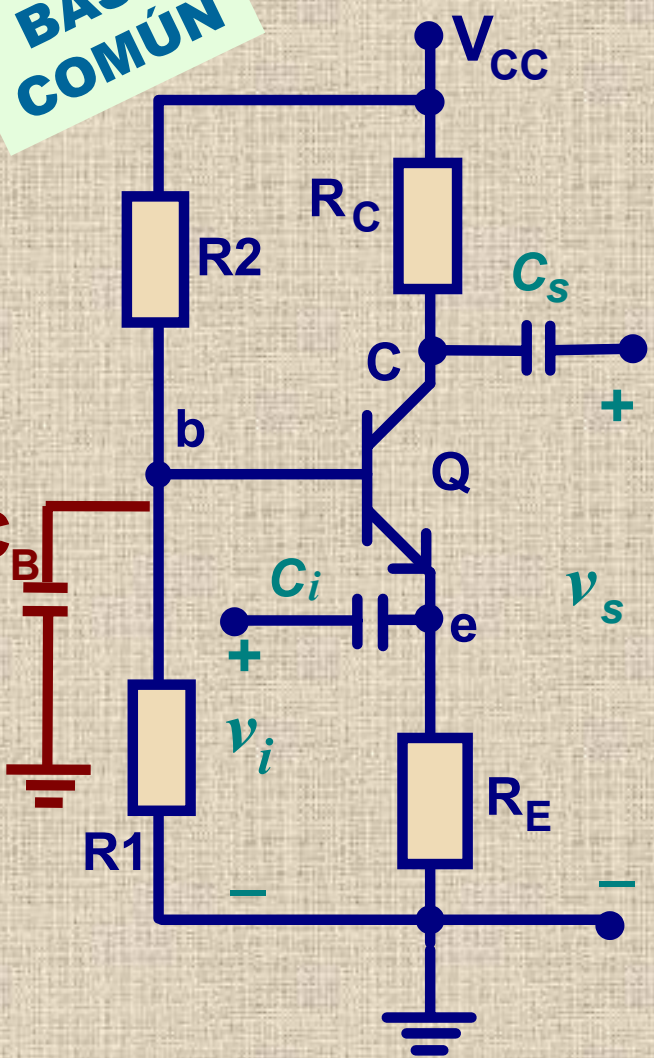
$$z_i = \frac{v_i}{i_i} \approx R_B // r_\pi (1 + g_m R_E)$$

$$z_i \approx R_B // \beta R_E \approx R_B$$

$$z_o = \frac{v_o}{i_s} \Big|_{v_i=0} \approx r_\pi // R_E // \frac{1}{g_m} \approx g_m^{-1}$$

$$A_v = \frac{v_s}{i_i} \approx \frac{R_E (1 + g_m r_\pi)}{r_\pi + R_E (1 + g_m r_\pi)} \approx \frac{g_m R_E}{1 + g_m R_E} \approx 1$$

**BASE COMÚN**



$$A_v \approx g_m R_c \frac{r_\pi}{r_\pi + R_B} \approx g_m R_c \quad A_i \approx 1$$

$$z_i ; R_E \parallel \frac{r_\pi + R_B}{1 + g_m r_\pi} \approx \frac{r_\pi + R_B}{1 + \beta} \approx g_m^{-1}$$

Si  $R_s =$  resistencia generador

$z_o$  depende de  $R_s$

$$z_o = r_o \left( 1 + g_m r_\pi \frac{R_E^*}{r_\pi + R_B} \right)$$

$$R_E^* = R_s \parallel R_E \parallel (r_\pi + R_B)$$

$$z_o = r_o (1 + g_m R_E)$$

**ec**

$$A_v \approx -\frac{g_m R_C}{1 + g_m R_E} \approx -\frac{R_C}{R_E}$$

$$z_i \approx R_B // r_\pi (1 + g_m R_E)$$

$$z_i \approx R_B$$

$$z_o \approx R_C$$

**amplificador  
de tensión  
y corriente**

$$z_i \approx R_B // \beta R_E \approx R_B$$

$$A_v = \frac{v_s}{v_e} \approx 1$$

$$z_o \approx r_\pi // R_E // \frac{1}{g_m} \approx g_m^{-1}$$

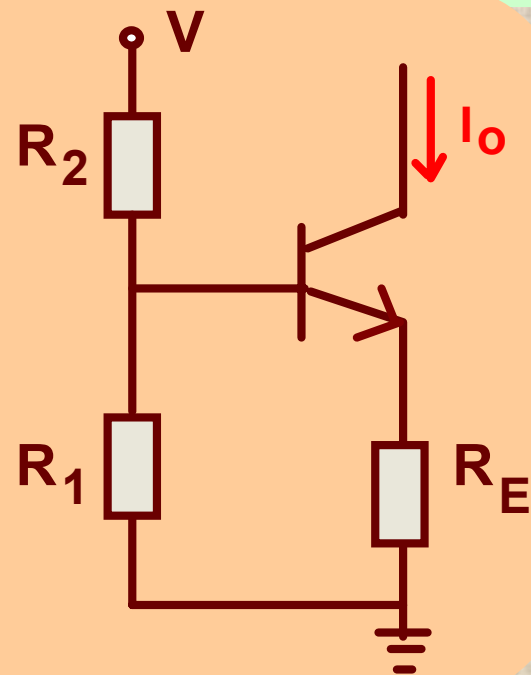
**adaptador de impedancia  
amplifica corriente**

**bc**

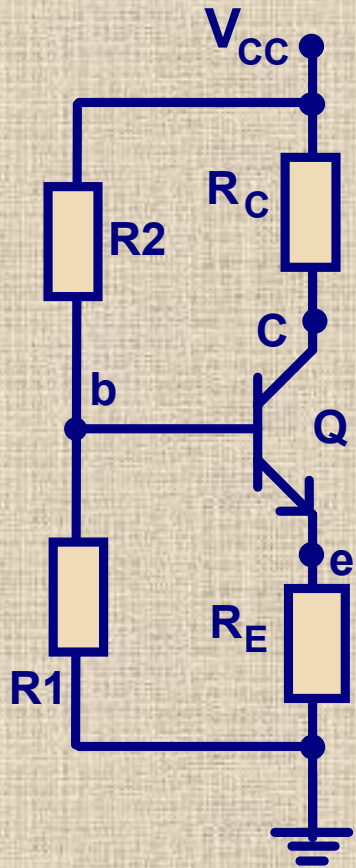
$$I_o = \frac{V_{BB} - V_{BE}}{R_E}$$

$$z_o \approx r_o (1 + g_m R_E)$$

**fuente de  
corriente o  
carga activa**

**cc**

# Otros criterios a tener en cuenta



**ec**

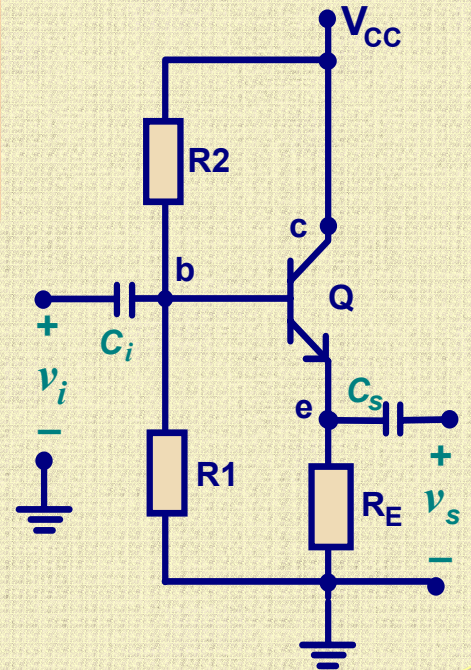
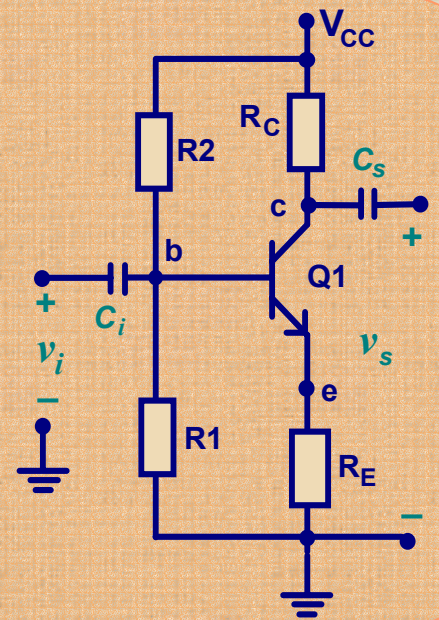
$$A_v \approx -\frac{R_C}{R_E}$$

$$R_E < R_C$$

$$z_i = R_1 // R_2 \approx R_B$$

**cc**

$$R_C = 0$$



**BJT Polarizado**  
**FET Polarizado**

**Etapas  
amplificadoras  
básicas**

**BJT**  
**emisor común**  
**base común**  
**colector común**

**FET**  
**fuentes común**  
**puerta común**  
**drenaje común**

terminal de excitación  
terminal de salida

Terminal común

**ec****emisor común**

$$A_v \approx -\frac{g_m R_c}{1 + g_m R_E} \approx -\frac{R_c}{R_E}$$

$$z_i \approx R_B // r_\pi (1 + g_m R_E) \approx R_B$$

$$z_o = \left. \frac{v_s}{i_s} \right|_{v_i=0} \approx R_c$$

**sc****fFuente común**

$$A_v = \frac{v_o}{v_i} \approx \frac{-g_m R_D}{1 + g_m R_S}$$

$$z_i = R_G // z_{iFET} \approx R_G$$

$$z_o \equiv \left. \frac{v_o}{i_o} \right|_{e_i=0} \approx R_D$$

**Amplificador de tensión**

**CC****colector común**

$$A_v \approx \frac{g_m R_E}{1 + g_m R_E} \approx 1$$

$$z_i \approx R_B // \beta R_E \approx R_B$$

$$z_o \approx g_m^{-1}$$

**drenaje común****dc**

$$A_v \approx \frac{g_m R_S}{1 + g_m R_S} < 1$$

$$z_i = R_G = R_1 // R_2$$

$$z_o \approx g_m^{-1}$$

**Adaptador de impedancia****amplifica corriente**

bc

$$A_v \approx g_m R_C \frac{r_\pi}{r_\pi + R_B}$$

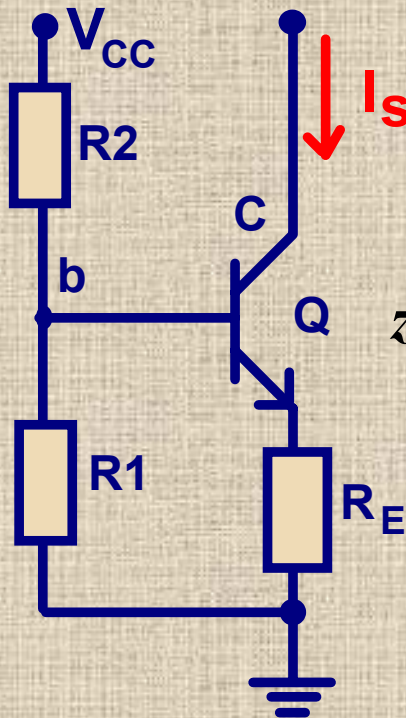
gc

$$z_i = g_m^{-1} // R_S \approx g_m^{-1}$$

$$z_i \approx \frac{r_\pi + R_B}{1 + \beta}$$

fuente de corriente  
o carga activa

$$A_v \approx g_m R_D$$

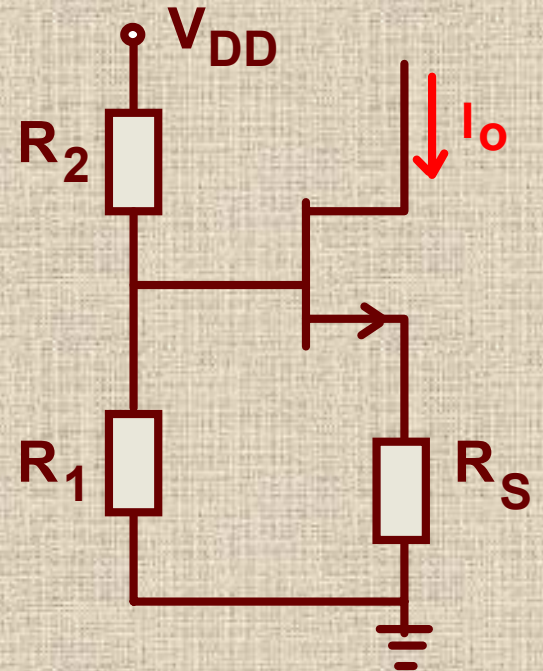


$$I_s \approx \frac{V_{BB} - V_{BE}}{R_E}$$

$$z_o \approx r_o \left( 1 + \frac{g_m r_\pi R_E}{r_\pi + R_B + R_E} \right)$$

R1 puede ser  
reemplazada  
por un zener

base común



$$z_o \approx r_o (1 + g_m R_S)$$

puerta común